

مجله مخاطرات محیط طبیعی، سال ششم، شماره یازدهم، بهار ۱۳۹۶

تاریخ دریافت مقاله: ۹۵/۰۴/۱۳

تاریخ پذیرش مقاله: ۹۵/۱۲/۱۵

صفحات: ۱۵-۳۲

## ارزیابی فعالیتهای نئوتکتونیک با استفاده از شاخص‌های ژئومورفیک(نمونه موردی: حوضه آبریز کذاب-یزد)

محمد شریفی<sup>۱\*</sup>، فاطمه زارع<sup>۲</sup>، کاظم طاهری نژاد<sup>۳</sup>

### چکیده

سطح زمین و عوارض موجود در آن همواره تحت تأثیر فعالیت‌های تکتونیک تغییر پیدا می‌کند. درک این تغییرات و ارزیابی مقادیر آن در برنامه ریزیها و مدیریت محیطی بسیار حیاتی است. برای مشخص نمودن فعالیتهای تکتونیکی و تغییرات لندفرم‌های سطح زمین شاخص‌های ژئومورفیک ابزارهای بسیار مناسبی هستند. بر این اساس، در این پژوهش از هفت شاخص ژئومورفولوژیک شامل شاخص گرادیان طولی رودخانه(SL)، شاخص سینوزیته جبهه کوهستان(SMF)، شاخص عدم تقارن حوضه آبریز(AF)، شاخص تقارن توپوگرافی معکوس(TSF)، شاخص سینوسی رودخانه اصلی(SMR)، شاخص انگرال هیپسومتری(HI) و شاخص شکل حوضه(BS) استفاده شده است. مقدار بالای شاخص SL و تغییرات مقادیر این شاخص در طول نیمرخ رودخانه و همچنین شکست‌های متوالی در طول نیمرخ حاکی از فعالیت‌های تکتونیکی در دوره اخیر زمین شناسی در منطقه است. با این وجود، رودخانه اصلی حوضه خود در داخل یک گسل قرار گرفته است. مقدار شاخص SMF بالا که در بخش غربی حوضه به ۱/۲ رسیده حاکی از فعالیت‌های تکتونیک بویژه در بخش غربی است. مقدار شاخص عدم تقارن حوضه به حدود ۱۹ (مقدار بسیار زیاد) می‌رسد به گونه‌ای که مساحت بخش غربی در حدود چهار برابر بخش شرقی است. شاخصهای منحنی و انگرال هیپسومتریک حاکی از جوان بودن و بالا آمدگی حوضه بویژه در بخش غربی حوضه است. شاخص شکل حوضه در حدود ۱ و شاخص سینوسی رودخانه ۱/۳ بوده که هر دو مقدار نسبتاً بالایی را نشان می‌دهند. بررسی‌های کلی حوضه بر حسب شاخصهای مذکور حاکی از فعالیت‌های تکتونیکی در این منطقه است.

واژگان کلیدی: حوضه آبریز کذاب، نئوتکتونیک، شاخص‌های ژئومورفیک، مورفومتری

## مقدمه

در سطح کره زمین تقریبا هیچ ناحیه ای را نمی توان یافت که تحت تاثیر فعالیتهای تکتونیکی قرار نگرفته باشد. بنابراین می توان گفت که تکتونیک فعال در حال تغییر شکل سطح زمین می باشد (والاس<sup>۱</sup>، ۱۹۷۷). مورفوتکتونیک یا تکتونیک ژئومورفولوژی به مطالعه فرآیندهای پویا و دینامیک مؤثر در شکل دهی زمین و چشم انداز های موجود در آن می پردازد. در سال های اخیر تکتونیک ژئومورفولوژی به طرز چشم گیر، یکی از ابزار های عمدۀ و اساسی در تشخیص شکل های تکتونیکی فعال و تهیه نقشه های خطوط لرزه ای و همچنین درک فهم تاریخچه چشم انداز های کنونی سطوح زمین بوده است (کلر و پینتر، ۲۰۰۲)<sup>۲</sup>. مورفوتکتونیک معرف رابطه بین تکتونیک و عوارض سطح زمین بوده و دانستن ارتباط حوادث تکتونیکی از طریق بررسی اشکال و ناهمواری های سطح زمین تعبیر و تفسیر می شود (موری ساوا و هک<sup>۳</sup>، ۱۹۸۵). در مقیاس جهانی به وجود آمدن قاره ها و اقیانوس ها، در مقیاس ناحیه ای، ساختمان سلسله جبال و در مقیاس محلی، ساختمان چین ها، گسل ها، شیب ها و پرتگا هها از موضوعات مطالعه شده تکتونیک ژئومورفولوژی می باشد (داغلاس و دیگران، ۱-۹: ۲۰۰۱) <sup>۴</sup> ایران با قرارگیری در کمربند کوه‌زایی آلپ هیمالیا همواره شاهد زلزله های مخرب و اثرات تکتونیک فعال بوده است. در این راستا روشهای تعیین تکتونیک فعال بسیار هزینه بر و گاهی غیر ممکن هستند بنابراین استفاده از شاخصهای مورفومتری برای تعیین و تشخیص تکتونیک فعال می تواند بسیار سودمند باشد (غلامی، کرمی، ۱۳۸۹، ۲۰۰۸؛ Guarnieri & Pirrotta 2008؛ Duglas et al., 2001). استفاده از شاخصهای مورفومتری در تشخیص حرکات فعال و جوان، در ایران و جهان سابقه‌ی چندانی نداشته و سابقه‌ی آن در جهان به دهه ۱۹۶۰ بر می گردد. لی و همکاران (۱۹۹۹)<sup>۵</sup> به بررسی تاثیر تکتونیک بر لندرفمهای رودخانه ای در شمال غرب چین پرداختند و دریافتند که حرکات زمین ساخت می تواند با تغییر سطح اساس رودخانه ها موجب تغییر شکل عوارض رودخانه ای گردد. هاروی و همکاران (۲۰۰۲)<sup>۶</sup> در تحقیقی نقش تغییرات اقلیمی سطح اساس در تقطیع مخروط افکنه ها را مورد توجه قرار داده و بریده شدن قاعده مخروط افکنه ها را ناشی از پایین رفتن سطح اساس و فعالیت های نتوتکتونیکی ذکر می کند. ویسراس و همکاران (۲۰۰۵)<sup>۷</sup> تأثیر بالاراندگی و فرونشست بر تحول مخروط افکنه ها را مورد مطالعه قرار داده است. هارکینس و همکاران (۱۹۳۹، ۱۹۲۵)<sup>۸</sup> ژئومورفولوژی تکتونیکی گسل صخره سرخ<sup>۹</sup> را در یونان با استفاده از تحلیل های مورفومتری بررسی کردند. مالیک و موہانتی (۲۰۰۷)<sup>۱۰</sup> تاثیر تکتونیک فعال را در تحول حوضه آبریز و چشم اندازهای شمال غرب هیمالیا را مطالعه کردند همدونی و همکاران (۲۰۰۸)<sup>۱۱</sup> با استفاده از شاخص های ژئومورفیک و شاخص (Iat) به طبقه بندی تکتونیک فعال جنوب اسپانیا پرداخته و

<sup>1</sup>-Wallace<sup>2</sup>-Keller and Pinter<sup>3</sup>-Morisawa and Hack<sup>4</sup>-Duglas<sup>5</sup>-Li et all<sup>6</sup>-Harvey<sup>7</sup>-Viseras<sup>8</sup>-Harkinset<sup>9</sup>- Red Rock<sup>10</sup>- Malik and Mohanty<sup>11</sup>-Hamdouni et al

مناطق فعال را مشخص نمودند. ده بزرگی و همکاران<sup>(۱)</sup> (۲۰۱۰) با استفاده از شاخص‌های ژئومورفی ناحیه سروستان در بخش زاگرس مرکزی را مطالعه و این ناحیه را به چهار کلاس به لحاظ فعالیت تکتونیکی طبقه‌بندی نمودند. فلورس و همکاران<sup>(۲)</sup> (۲۰۱۵) در پژوهشی به تفسیر مورفوتکتونیک حوضه‌ی آبریز ماکیوونی<sup>(۳)</sup> در شمال تازانیا با استفاده از Dem و اطلاعات SAR پرداختند و به این نتیجه رسیدند که فرآیندهای تکتونیکی در منطقه مورد مطالعه بی‌ثبات بوده و این فرآیندها یک عامل مهم برای تکامل چشم انداز فعلی حوضه‌ی دریاچه‌ای مانیارا<sup>(۴)</sup> می‌باشد. توپال و همکاران<sup>(۵)</sup> (۲۰۱۶) در پژوهشی تحت عنوان ژئومورفولوژی زمین ساخت یک گسل نرما بزرگ (گسل آق شهر) به این نتیجه رسیدند که گسل آق شهر فعال است و زمین لرزه آن در یک دوره‌ی تاریخی یک تهدید بالقوه به حساب می‌آید.

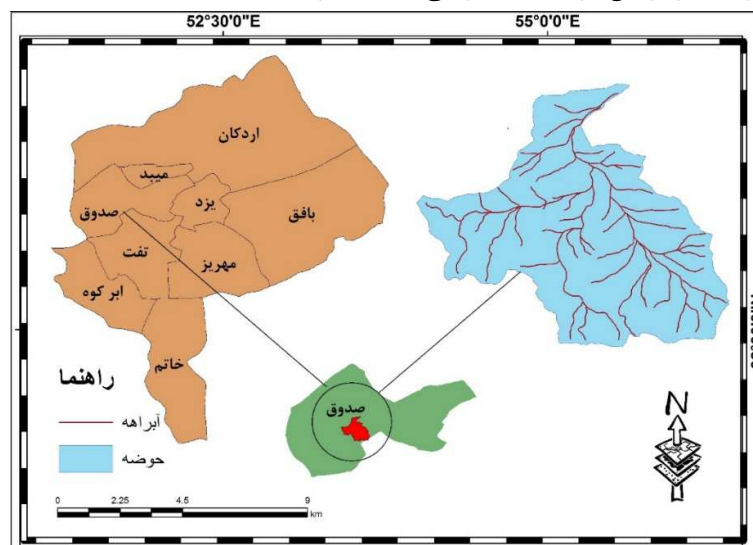
در ایران نیز در یک دهه اخیر در زمینه ارزیابی فعالیت‌های تکتونیکی بر حسب شاخص‌های ژئومورفولوژیک تحقیقات پراکنده‌ای انجام گرفته است از جمله: حاجی‌علی بیگی<sup>(۶)</sup> (۱۳۸۰) در پژوهشی با استفاده از شاخص‌های مورفومتریک به بررسی این شاخص‌ها در دو واحد جبهه کوهستانی و گستره‌ی کوهپایه و زیر واحدهای حوضه تهران پرداخته است. نتایج حاصل از این پژوهش حاکی از آن است که زیر واحدهای کرج و توچال در واحد جبهه کوهستانی البرز فعالیت نسبی زمین ساختی بیشتری نسبت به واحد آنتی البرز نشان می‌دهند. ذوقفاری و همکاران<sup>(۷)</sup> (۱۳۸۳) با پژوهشی در نیمه‌ی جنوبی حوضه آبریز حاج علیقلی (جنوب شرقی دامغان) با استفاده از شاخص‌های مورفومتریک و ارزیابی تکتونیک فعال پرداخته و به این نتیجه رسیده اند که حاشیه‌ی جنوبی حوضه تحت بررسی از نظر تکتونیکی غیر فعال بوده و به سمت شمال بر میزان فعالیت‌های تکتونیکی افزوده می‌شود. گورابی و نوحه‌گر<sup>(۸)</sup> (۱۳۸۶)، در پژوهشی به بررسی شواهد ژئومورفولوژیکی تکتونیک فعال حوضه آبخیز در که پرداخته و به این نتیجه رسیدند که این حوضه از مناطق فعال تکتونیکی بوده و با توجه به شاخص گرادیان طولی رود (SL) حوضه آبخیز در که طبقه‌بندی شده است. سیف و خسروی<sup>(۹)</sup> (۱۳۸۹) تکتونیک‌های فعال را در قلمرو تراست منطقه فارسان، مورد بررسی قرار داده اند. نتایج شاخص‌های متفاوت تبدیل به شاخص Iat شده اند و نقشه‌ی پهنه‌بندی تکتونیکی حوضه‌ی فارسان در چهار طبقه بسیار فعال، فعال، نیمه فعال و غیر فعال ترسیم گردیده است. مقصودی و همکاران<sup>(۱۰)</sup> (۱۳۹۰) در پژوهشی تحت عنوان بررسی تکتونیک فعال حوضه‌ی آبریز کفرآور با استفاده از شاخص‌های ژئومورفیک و شواهد ژئومورفولوژیکی به این نتایج رسیدند که مقادیر به دست آمده از شاخص‌های ژئومورفیک و بررسی شواهد ژئومورفولوژیکی حاکی از فعال بودن نئوتکتونیک در حوضه می‌باشد و حوضه بر اساس طبقه‌بندی شاخص Iat بر کلاس یک قرار می‌گیرد که نشان دهنده فعالیت‌های نئوتکتونیکی شدید در حوضه می‌باشد. کرمی<sup>(۱۱)</sup> (۱۳۹۱) در پژوهشی به ارزیابی نسبی تکتونیک فعال با استفاده از رو شهای مورفومتری در حوضه‌های شمالی و شرقی کوه سهند پرداخته و به این نتیجه رسید که در حوضه‌های مورد مطالعه کوه سهند، حوضه‌های آبریز سعیدآبادچای، کلقارن چای و آلمالوچای به طور نسبی دارای فعالیت‌های تکتونیکی زیاد هستند و حوضه‌های اوچا نچای، اسب آبادچای و قرنقوچای حرکات تکتونیکی متوسط دارند. کرمی و همکاران<sup>(۱۲)</sup> (۱۳۹۲) در پژوهشی به مطالعه تحلیل فعالیت‌های نئوتکتونیکی دامنه شمالی رشته کوه بزقوش با استفاده از شاخص‌های ژئومورفولوژیکی پرداخته و

<sup>۱</sup>-Dehbozorgi et all<sup>۲</sup>-Makuyuni<sup>۳</sup>-Manyara

توانستند فعالیتهای تکتونیکی در منطقه را نشان دهند. عابدینی و شبرنگ (۱۳۹۳) به ارزیابی فعالیت‌های تکتونیکی در حوضه‌ی آبخیز مشکین چای از طریق شاخص‌های ژئومورفولوژی پرداختند. نتایج نشان داد که کل حوضه مورد مطالعه از لحاظ فعالیت‌های تکتونیکی فعال است. رضایی مقدم و خیری زاده (۱۳۹۳) در پژوهشی به ارزیابی فعالیتهای نئوتکتونیکی با استفاده از شاخص‌های کمی ژئومورفیک پرداختند و نتیجه گرفتند که نیمرخ واقعی آبراهه‌های اصلی در بیشتر موارد بالا آمدگی را نشان می‌دهند. طارمسری و همکاران (۱۳۹۴)، در پژوهشی به ارزیابی تکتونیک فعال ازبک‌کوه در شمال طبس، ایران مرکزی پرداختند و به این نتیجه رسیدند که بر اساس شاخص Iat برخی از بخش‌های منطقه از نظر تکتونیکی فعال هستند. در این پژوهش نیز بر حسب شاخص‌های مورفوگنتونیکی به مورفومتری و ارزیابی فعالیتهای تکتونیکی در غرب شیرکوه در استان یزد در حوضه آبریز کذاب پرداخته شده است. انتخاب این منطقه برای بررسی فعالیتهای مورفوگنتونیکی به دو دلیل عمده بود: (الف) بخش عمده سنگهای منطقه از سنگهای رسوبی سخت آهکی و دولومیتی تشکیل شده است. این سنگها به مراتب بهتر از سنگهای سست فعالیت‌های تکتونیکی را نشان می‌دهند، چرا که به راحتی عوامل دینامیک بیرونی قادر به تغییر زیاد آنها نیست (ب) منطقه مطالعه از نظر تکتونیک و گسل خورده‌گی منطقه فعالی به نظر می‌رسد؛ وجود گسلهای متعدد در بخش‌های مختلف، شکستگی دره در امتداد نیمرخ طولی، وجود پرتگاههای فراوان در بخش‌های مختلف، برش خورد رسوبهای کواترنر و وجود تراسهای مختلف رسوبی در ارتفاعات بالا همگی حاکی از فعال بودن منطقه هستند.

### محدوده و قلمرو پژوهش

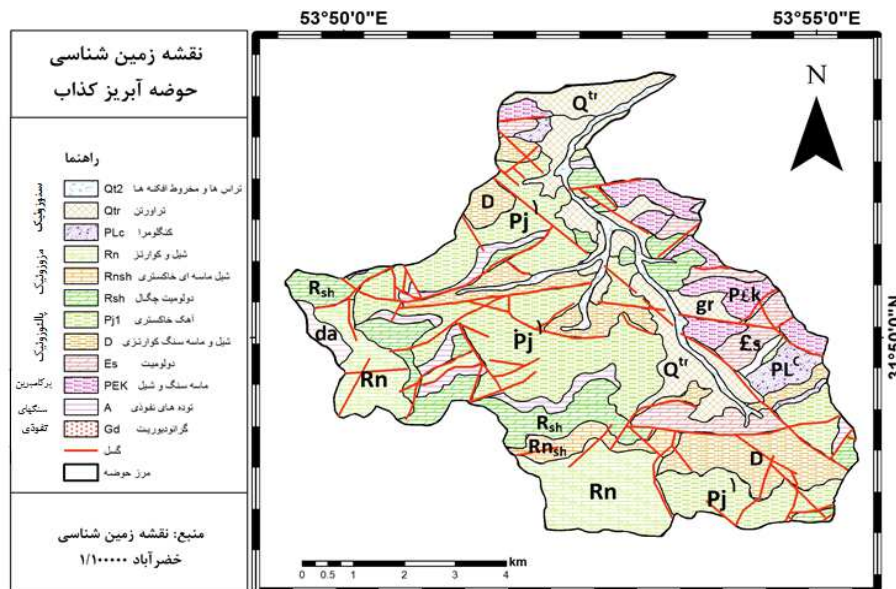
حوضه کذاب در جنوب غرب شهر یزد و در جنوب شرق استان میبد با وسعتی بالغ بر ۴۵۰۰ کیلومتر مربع واقع شده است. این حوضه از نظر موقعیت جغرافیایی در زون ساختمنی ایران مرکزی در محدوده‌ی ۳۱°۵۱'۵۹" تا ۳۲°۳۰'۵۳" عرض شمالی و ۵۲°۱۴'۵۴" تا ۵۳°۷'۵۴" طول شرقی با ارتفاع متوسط ۲۳۲۴ متر واقع شده است. حداقل ارتفاع آن ۲۹۱۶ متر و حداقل ارتفاع آن ۱۷۳۲ متر می‌باشد (شکل ۱).



شکل ۱: موقعیت منطقه کذاب در استان یزد

### زمین‌شناسی

از نظر زمین‌شناسی منطقه کذاب ساختار پیچیده‌ای دارد به گونه‌ای در منطقه با تاثیرپذیری از فازهای کوهزایی مختلف، قدیمی ترین و جدیدترین سنگها در مجاورت هم قابل مشاهده‌اند، در بخش عمده آن سنگهای رسوبی دوران دوم، یعنی آهک‌ها و دولومیت‌ها بوجود آمده‌اند که این لایه‌های رسوبی توسط توده‌های نفوذی اواخر این دوران (یعنی گرانیت‌ها) بالا آورده شده و به شکل کوههای نسبتاً مرتفع و حجمی در آمده‌است. نفوذی توده‌های آذرین بخشی از سنگهای رسوبی را دگرگون نموده و بدین ترتیب سنگهای دگرگونی را می‌توان در منطقه و در مجاورت سنگهای آذرین و رسوبی نیز مشاهده نمود. علاوه بر وجود توده‌آذرین زیرین، توده‌های نفوذی محدودی به شکل دیواره در بین لایه‌های رسوبی قرار گرفته و هم‌اکنون در سطح زمین رخمنون دارند. علاوه، از نظر ساختمانی گسلهای متعددی اغلب عمود بر جهت ساختمان کوهها قرار گرفته‌اند و برخی از این گسلها حتی رسوبهای کواترنر را نیز بریده است. اصلی‌ترین و بزرگ‌ترین دره حوضه، یعنی هامانه، یک دره تکتونیکی است و منطبق بر یک گسل قرار دارد. به دلیل بریدگی ساختمان رسوبهای کواترنر می‌توان اظهار داشت که گسل‌ها هنوز در حال فعالیت هستند(شکل ۲).



شکل ۲: نقشه زمین‌شناسی و گسل‌های مربوط به حوضه کذاب

### مواد و روش‌ها

در این پژوهش از نقشه‌های توپوگرافی خضرآباد (۱/۵۰۰۰۰)، نقشه زمین‌شناسی خضرآباد (۱/۱۰۰۰۰۰) نقشه رقومی ارتفاعی زمین (با قدرت تفکیک 20 متر)، استفاده و همچنین با مشاهدات میدانی و مشاهده گسلها و تغییرات ساختمانی سطح زمین و استفاده از دستگاه GPS این نقشه‌ها کنترل گردیدند. در همین راستا، ابتدا نقشه‌های توپوگرافی، DEM

و نقشه زمین شناسی به عنوان داده پایه وارد نرم افزار ARC GIS شده و نقشه ها رقومی و داده های مورد نیاز استخراج شدند. سپس هفت شاخص ژئومورفولوژیک یعنی شاخص گرadiان طول رودخانه، شاخص سینوسی جبهه کوهستان، عدم تقارن حوضه آبریز، تقارن توپوگرافی معکوس زهکشی، پیچ و خم رودخانه اصلی، انتگرال هیپسومتریک و شکل حوضه در منطقه مورد مطالعه مورد بررسی و اندازه گیری قرار گرفتند و در ادامه با استفاده از سیستم اطلاعات جغرافیایی و همچنین نرم افزار Excel نقشه ها و نمودارهای مربوطه ترسیم گردید. در نهایت برای ارزیابی مقادیر حاصل از شاخصها از تجربیات قبلی استفاده شده است که مهمترین آنها در جدول(۱) آمده است:

(Hamdouni et al., ۲۰۰۷، اقتباس از ۲۰۰۷)

ردی	عدم تقارن حوضه زهکشی (Af)	شاخص زهکشی (Bs)	انتگرال هیپسومتریک (Hi)	SL
۱	$ AF - ۵۰  > ۱۵$	$(B_S > ۴)$	$0.55 - ۱$	$(SL \geq ۵۰۰)$
۲	$ AF - ۵۰  > ۷ - ۱۵$	$(۳ < B_S < ۴)$	$0.45 - 0.55$	$(۳۰۰ \leq SL < ۵۰۰)$
۳	$ AF - ۵۰  < ۷$	$(B_S < ۳)$	$0 - 0.45$	$(SL < ۳۰۰)$

### یافته های پژوهش

همانطور که اشاره گردید برای بررسی وضعیت نوزمین ساخت در حوضه آبریز کذاب از هفت شاخص ژئومورفیک استفاده شده است که به شرح زیر این شاخصها و مقادیر آنها پس از محاسبه و اندازه گیری آورده شده اند:

#### ۱. شاخص گرادیان طول رودخانه $^1SL$

این شاخص از رابطه زیر بدست می آید:

$$SL = (\Delta H / \Delta Lr) * LSC \quad (1)$$

SL : شاخص شبی طولی رودخانه

$\Delta H$  : اختلاف ارتفاع بین دو نقطه اندازه گیری شده

$\Delta Lr$  : فاصله افقی بین دو نقطه اندازه گیری شده

Lsc : طول رودخانه از نقطه مرکزی مقطع اندازه گیری شده تا مرتفع ترین نقطه کanal

<sup>1</sup> Stream Length – Gradient Index

شاخص گرادیان طولی هر رود یک عنصر مورفولوژیکی بوده که برای مقایسه مکانی مستقل عناصر مورفولوژیکی حساسترین آنها به بالآمدگی به کار می‌رود (مریتس و ویتنست<sup>۱</sup>، ۱۹۸۹، به نقل از عبادیان، ۱۳۷۹). شاخص SL با قدرت دینامیکی رودخانه ارتباط داشته و به تغییرات شیب رودخانه نیز بسیار حساس است. این حساسیت برآورد میزان روابط موجود بین فعالیت‌های تکنونیکی، مقاومت سنگ و توپوگرافی را امکان پذیر می‌سازد. این شاخص در مناطقی که بستر رودخانه در سنگهای سخت قرار دارد افزایش می‌یابد. از این نظر، هر اندازه طول رودخانه بیشتر باشد، رودخانه موردنظر کمتر تحت تاثیر ساختمان سنگ شناسی بستر خود است و هر چه طول رودخانه کمتر باشد بیشتر تحت تاثیر ساختمان سنگ شناسی بستر رودخانه است. همچنین، میزان SL در مناطق فعال تکنونیکی که تغییرات عمودی را در سطح زمین بوجود می‌آورد زیاد است (Keller and Pinter, 1996). همدونی حوضه‌ها را بر اساس شاخص SL به سه گروه تقسیم‌بندی کرده است: رده ۱ (SL < 500)، رده ۲ (500 ≤ SL < 500)، و رده ۳ (SL ≥ 500). بنابراین حوضه‌ها یا زیر حوضه‌هایی که در این رده‌ها قرار می‌گیرند از نظر تکنونیکی فعالیت بالایی را نشان می‌دهند. برای ارزیابی این شاخص در منطقه مورد مطالعه با استفاده از مدل رقومی ارتفاعی زمین، نیم‌رخ طولی رود تهیه و منحنی‌های ۱۰۰ متری از آن ترسیم گردید. سپس، در فواصل معین ۱۰۰ متری میزان شاخص SL برای تمامی مسیر رودخانه از خروجی تا سرچشمۀ محاسبه گردید. بر حسب محاسبات انجام گرفته، مقادیر این شاخص در حوضه مورد نظر بین ۳۶۶,۹۴ تا ۹۴,۴۱ است. متوسط SL کل رودخانه حوضه کذاب در حدود ۱۹۶,۰۹ به دست آمد.

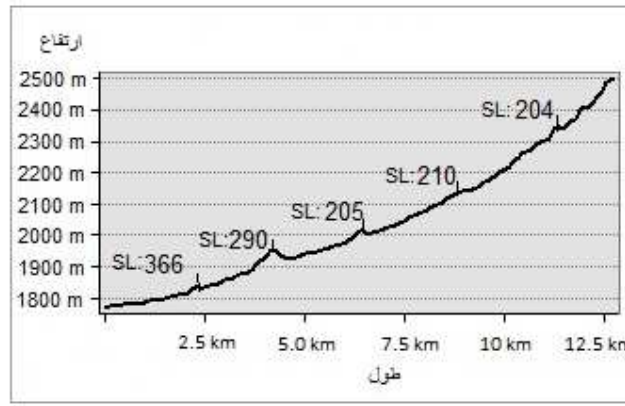
جدول ۲: مقادیر شاخص SL در حوضه‌هایی کذاب

SL	L(m)	ΔL(m)	ΔH (m)	نقطه میانی	ارتفاع به متر
۳۶۶,۹۴	۷۰۵۲,۶۱	۱۹۲۲	۱۰۰	۱۸۵۰	۱۸۰۰-۱۹۰۰
۲۹۰,۱۰	۵۴۳۵,۱۳	۱۸۷۳,۴۸	۱۰۰	۱۹۵۰	۱۹۰۰-۲۰۰۰
۲۰۵,۳۲	۳۵۸۱,۶۰	۱۷۴۴,۳۹	۱۰۰	۲۰۵۰	۲۰۰۰-۲۱۰۰
۲۰۹,۸۴	۲۳۴۵,۹۸	۱۱۱۷,۹۴	۱۰۰	۲۱۵۰	۲۱۰۰-۲۲۰۰
۲۰۶,۰۳	۱۶۵۰,۰۳	۸۰۰,۸۳	۱۰۰	۲۲۵۰	۲۲۰۰-۲۳۰۰
۹۴,۴۱	۶۰۵,۷۸	۶۴۱,۶۴	۱۰۰	۲۳۵۰	۲۳۰۰-۲۴۰۰
.	.	۳۹۰,۸۲	۱۰۰	۲۴۵۰	۲۴۰۰-۲۵۰۰
-	-	۲۹۷,۷۲	۱۰۰	۲۵۵۰	۲۵۰۰-۲۶۰۰
-	-	۲۶۱,۸۸	۱۰۰	۲۶۵۰	۲۶۰۰-۲۷۰۰
۱۹۶,۰۹	-----	-----			میانگین

مقایسه میزان SL‌های بدست آمده و تغییرات شدید مقادیر آنها در مسیر رودخانه و همچنین مقدار بالای این شاخص، با توجه به اینکه رودخانه در طول مسیر خود در نهشته‌های کواترنری جریان دارد، نشان دهنده بالآمدگی و

<sup>۱</sup> Merritts and Vincent, 1989<sup>۲</sup> -El Hamdouni

فعالیت های نسبتاً شدید نو زمین ساختی در منطقه است. نیمرخ طولی رودخانه کذاب با توجه به شکل شماره (۳) در طول مسیر، شبیه یکسانی ندارد و شکستهای زیادی در طول نیمرخ رودخانه بوجود آمده است. با این وجود، رودخانه طول زیادی نیز پیدا نکرده است. با توجه به نقشه زمین شناسی حوضه(شکل ۲) می توان دریافت که شاخص گرادیان طولی رود، ارتباط نزدیکی با شاخص تکتونیکی منطقه دارد و در مسیر اصلی رود گسل طویل و بزرگی بر روی نقشه قابل مشاهده است.



شکل ۳: نیمرخ مربوط به طول آبراهه و مقادیر  $\Delta L$  در امتداد آن

#### ۲. شاخص سینوزیته جبهه کوهستان<sup>۱</sup>(Smf)

شاخص سینوسی پیشانی کوهستان به نوعی تعادل بین سنگ شناسی، فرسایش و نیروهای تکتونیکی را نشان می دهد. میزان این شاخص برای مناطق بسیار فعال تکتونیکی معمولاً بین ۱ تا ۱,۵، برای مناطق با فعالیت متوسط بین ۱,۵ تا ۳ و برای مناطق غیر فعال از ۳ تا بیش از ۱۰ می باشد(<sup>۲</sup> ۲۰۰۷). در جبهه های کوهستانی فعال، بالآمدگی بر فرآیندهای فرسایشی غالب شده و پرتگاهی مستقیم همراه با مقادیر Smf پایین ایجاد می کند. در حالی که، در جبهه های کمتر فعال، فرآیندهای فرسایشی بر تکتونیکی غلبه و جبهه های سینوسی همراه با مقادیر بالای Smf بوجود می آورند(جیاکونیا و همکاران، ۲۰۱۲)<sup>۳</sup>. این شاخص از رابطه زیر بدست می آید:

$$\text{Smf} = \text{Lmf}/\text{LS} \quad (2)$$

Smf: شاخص سینوسی جبهه کوهستان

Lmf: طول جبهه کوهستان در امتداد کوهپایه و در محل شکست شبیه (کنیک پوینت)

LS: طول خط مستقیم جبهه کوهستان

<sup>1</sup> Mountain Front Sinuosity

<sup>2</sup> Bull

<sup>3</sup>Giaconia et al

در حوضه کذاب مقدار smf برای دو جبهه کوهستان شرقی و غربی محاسبه گردید. همانطور که در جدول شماره (۳) مشاهده می‌شود میانگین مقدار smf برای هر دو جبهه برابر با ۱,۳۴۶ است که البته بخش غربی دارای فعالیت شدیدتری بوده است. نقشه زمین‌شناسی نیز گسل‌های بیشتری را در بخش غربی نشان می‌دهد.

جدول ۳: مقدادیر smf برای حوضه آبریز کذاب

نام حوضه	lmf	ls	smf	میانگین
کوهستان شرقی	۱۶۹۵,۲۷	۱۴۰۷,۴	۱,۲۰۴	۱,۳۴۶
کوهستان غربی	۱۶۸۸,۸	۱۱۳۴,۶	۱,۴۸۸	

### ۳. شاخص عدم تقارن حوضه آبریز(Af)

این شاخص میزان تغییرات انحراف عمودی مسیر آبراهه حاصل از تکتونیک را در حوضه‌های زهکشی مورد استفاده قرار می‌گیرد(همدونی و همکاران، ۲۰۰۷)<sup>۱</sup>. این شاخص به ما اجازه می‌دهد تا کج شدگی جانبی یک حوضه را با توجه به مسیر آب اصلی که ممکن است با فعالیت یک گسل نرمال مرتبط باشد، با جهت موازی مسیر آب اصلی را نشان دهیم(مفهومی و همکاران، ۱۳۹۰). شاخص عدم تقارن حوضه آبریز بر اساس رابطه زیر محاسبه می‌شود:

$$Af = (Ar/At) * 100 \quad (۳)$$

Af : شاخص عدم تقارن حوضه

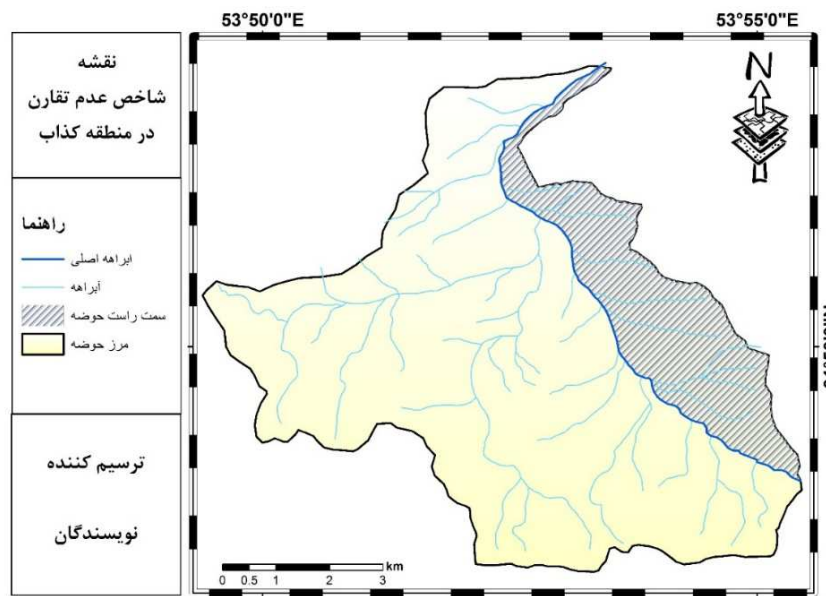
Ar : مساحت سمت راست حوضه در سمت راست آبراهه‌ی اصلی(جهت پایین رود)

At : مساحت کل حوضه‌ی زهکشی

$$Af = ۹,۱۰۷/۴۷,۱۲۰ * 100 \longrightarrow ۱۹,۳۲$$

مقادیر بالاتر و پایین تر از عدد حدود ۵۰ نشان دهنده عدم تقارن حوضه و کج شدگی آنها به سمت غرب یا شرق می‌باشد. البته باید در نظر داشت که در این روش فرض بر این است که عوامل سنگ‌شناسی و اقلیمی موجب عدم تقارن حوضه‌ی زهکشی نشده‌اند. مقدار شاخص Af در حوضه‌ی مطالعه ۱۹,۳۲ است که از نظر تکتونیکی در رده‌ی بسیار ناپایدار و فعل قرار می‌گیرد(شکل ۴).

<sup>۱</sup> Hamdouni et all 2007



شکل ۴: شاخص عدم تقارن در منطقه کذاب

#### ۴. شاخص تقارن توپوگرافی معکوس (TSF)<sup>۱</sup>

شاخص تقارن توپوگرافی در حوضه های آبریز با لیتوژوژی تقریباً یکسان، عملکرد گسل فعال را نشان می دهد. عدم تقارن در حوضه های آبریز را بر اساس رابطه زیر نشان می دهند:

$$T = Da/Dd \quad (4)$$

T: عامل تقارن توپوگرافی

Da: فاصله بین خط میانی حوضه زهکشی تا رود اصلی حوضه

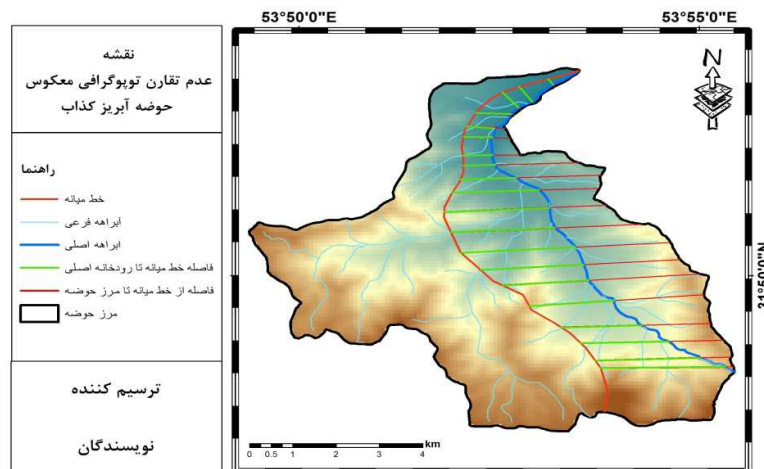
Dd: فاصله ای خط میانی حوضه تا مرز حوضه

شاخص T برداری است جهت دار و مقدار آن بین ۰ و ۱ است. در صورتی که حوضه به طور کامل متقارن باشد، این شاخص صفر خواهد بود و هر چه این مقدار به یک نزدیک شود حاکی از عدم تقارن بیشتر حوضه است. این شاخص اغلب برای حوضه های زهکشی با الگوی دندرتیک مناسب است. برای محاسبه شاخص تقارن توپوگرافی معکوس ابتدا خط میانه حوضه آبریز ترسیم گردید. در ادامه پارامترهای Da و Dd در ۲۰ مقطع تعیین و با استفاده از رابطه فوق محاسبه و نتایج آن در جدول (۴) آمده است:

<sup>1</sup> Transvers Topographic symmetry Factor

جدول ۴: محاسبه شاخص  $T$  در مقاطع مختلف در حوضه آبریز کذاب

T	Dd	Da	تعداد نقاط مورد بررسی
۰.۷۴	۲۳۱.۶	۱۷۱.۳	۱
۰.۹۰	۵۲۶.۲	۴۷۸.۲	۲
۰.۹۱	۵۶۸	۵۱۵.۷	۳
۰.۹۲	۷۴۵.۹	۶۸۶.۸	۴
۰.۷۴	۷۴۸.۵	۵۵۶	۵
۰.۶۱	۹۲۹.۷	۵۶۹.۱۴	۶
۰.۵۱	۱۱۲۲.۴	۵۷۷.۱۳	۷
۰.۲۸	۲۲۷۷.۳	۶۲۵.۴	۸
۰.۳۹	۲۷۷۰.۲	۱۰۶۸.۹	۹
۰.۶۰	۲۸۹۳.۲	۱۷۳۴	۱۰
۰.۷۵	۳۱۸۷.۶	۲۰۷۶.۴	۱۱
۰.۵۴	۳۷۷۷.۹	۲۰۵۳.۸	۱۲
۰.۰۵	۴۱۳۶.۹	۲۲۶۳.۲	۱۳
۰.۵۲	۳۹۵۹	۲۰۵۸	۱۴
۰.۴۳	۳۸۷۴.۴	۱۶۶۴.۹	۱۵
۰.۴۸	۳۴۴۹.۸	۱۶۷۱	۱۶
۰.۰۳	۲۹۳۰.۱	۱۵۴۵.۸	۱۷
۰.۶۳	۲۸۱۴.۴	۱۷۶۰.۳	۱۸
۰.۷۸	۲۶۸۲.۶	۲۰۹۵.۴	۱۹
۰.۹۴	۲۶۲۱.۲	۲۴۵۷.۲	۲۰
۰.۶۳	۲۳۱۲.۱	۱۳۳۱.۲	میانگین



### ۵. شاخص سینوسی رودخانه اصلی (Smr<sub>1</sub>)

به لحاظ نظری، رودخانه‌ای که تقریباً به حالت تعادل رسیده باشد، آن رودخانه جهت حفظ تعادل بین شیب بستر، دبی و رسویگذاری پیچ خورده و حالت سینوسی پیدا می‌کند (بربانک و آندرسون، ۲۰۰۰: ۸۳) <sup>۱</sup>. تغییر شیب بستر رودخانه به دلیل عامل تکتونیک، رابطه مستقیم با پیچ و خم در مسیر رودخانه دارد. بنابراین، از این شاخص برای بررسی وضعیت تکتونیک مناطق استفاده می‌شود. هر چه میزان شاخص S از یک میزان شاخص S<sub>0</sub> باشد نشان دهنده فعال بودن تکتونیک در منطقه است. این شاخص بر اساس رابطه زیر تعریف می‌شود:

S: شاخص سینوزیته یا پیچ و خم رودخانه صلی

C: طول مسیر رودخانه،

V: طول دره به خط مستقیم

این شاخص برای حوضه آبریز کذاب اندازه گیری شده و مقدار آن در جدول شماره (۵) آورده شده است:

جدول ۵: محاسبه شاخص سینوسی رودخانه اصلی حوضه کذاب

S	V	C	نام حوضه
۱,۳۰۱	۸۸۴۵/۳۱	۱۱۵۰۱,۱۱	کذاب

### ۶. منحنی هیپسومتریک و شاخص انتگرال هیپسومتری (Hi<sub>3</sub>)

منحنی‌های هیپسومتریک ابزار مفیدی در ارزیابی مسائل ژئومورفولوژی، بویشه در مطالعات زمین‌ساختی، فرایندهای فرسایش و ناپایداری دامنه‌ها هستند (Zisu, ۲۰۰۸: ۱۰۰) <sup>۲</sup>. انتگرال هیپسومتری، توزیع سطوح ارتفاعی در یک منطقه یا یک حوضه آبریز را نشان می‌دهد (استرال، ۱۹۵۲) شاخص Hi مساحت سطح زیرین منحنی هیپسومتری را توصیف می‌کند. یکی از روش‌های ساده برای توصیف شکل منحنی هیپسومتریک یک حوضه، محاسبه انتگرال هیپسومتریک آن است. انتگرال هیپسومتریک حوضه آبریز با استفاده از مساحت سطح زیرین منحنی هیپسومتریک به دست می‌آید. محاسبه انتگرال هیپسومتری با استفاده از رابطه زیر به دست می‌آید: (میر، ۱۹۹۰، کلر و پینتر، ۲۰۰۲، بال ۲۰۰۷):

$$Hi = H_{\text{mean}} - H_{\text{min}} / H_{\text{max}} - H_{\text{min}} \quad (5)$$

کمینه ارتفاع – بیشینه ارتفاع / کمینه ارتفاع – میانگین ارتفاع = انتگرال هیپسومتریک

این شاخص برای حوضه کذاب برابر است با:

$$\text{شاخص انتگرال هیپسومتریک} = ۱۷۳۲ - ۱۷۳۲ - ۲۳۲۴ / ۲۹۱۶ = .۵۰$$

<sup>1</sup> Sinuosity of main river

<sup>2</sup> Burbank and Anderson

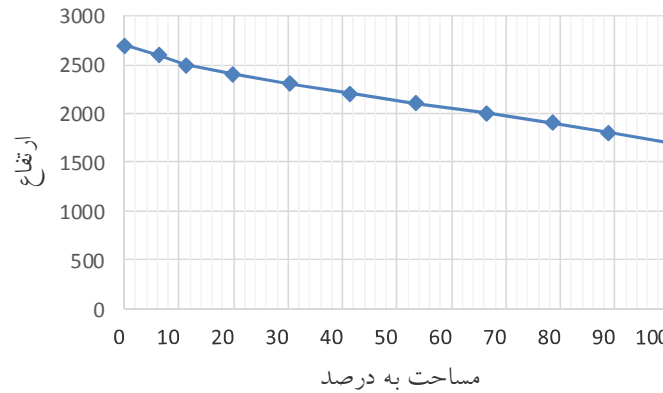
<sup>3</sup> Hypsometric Curve and Hypsometrical Integral

به طور کلی، شاخص انگرال هیپسومتریک بالا بیانگر فعالیت تکتونیکی و مرحله جوانی در یک منطقه بوده و مقادیر پایین بیانگر فعالیت فرسایشی و مرحله‌ی پیری و آرامش می‌باشد. بر حسب مقدار به دست آمده در حوضه کذاب (بنجاه درصد) می‌توان بیان داشت که حوضه از نظر تکتونیکی در شرایط فعال و جوان (بالا آمدگی‌ها و شکل‌گیری توپوگرافی جدید) قرار دارد. در شاخص منحنی هیپسومتریک، A مساحت کل حوضه برابر با جمع مساحت بین خطوط میزان موجود در حوضه می‌باشد و  $a$  مساحتی از حوضه که بالاتر از ارتفاع (h) قرار دارد. مقدار مساحت نسبی ( $a/A$ ) بین ۱ در پایین ترین نقطه حوضه ( $h/H=0$ ) تا ۰ در بالاترین نقطه حوضه ( $h/H=1$ ) تغییر می‌کند (جدول ۶). شکل منحنی‌های هیپسومتریک ( $Hc$ ) مقدار مواد فرسایش یافته را نشان می‌دهد. تحدب منحنی هیپسومتریک مشخص کننده نواحی با فرسایش ضعیف (جوان) شکل منحنی S نواحی با فرسایش آرام (بلوغ) و منحنی تقرع مشخص کننده نواحی با فرسایش بالا و مرحله‌ی پیری می‌باشد (Pena, ۲۰۱۰). در تحلیل منحنی هیپسومتریک حوضه‌ی کذاب می‌توان مشاهده نمودشکل کلی منحنی حالت تحدب را نشان می‌دهد هر چند که میزان تحدب در بخش بالایی حوضه بسیار بیشتر است و این خود بیانگر فعالیت بیشتر گسلها در بخش‌های بالایی حوضه است.

جدول ۶: محاسبه منحنی هیپسومتری حوضه آبریز کذاب

$a/A^*(\%)$	$h/H^*(\%)$	$H(M)$	$A(KM)^2$
۱	۰	۰	۴۷,۱۲۰
۰,۱۵	۰,۶۶	۱۸۰۰-۱۹۰۰	۷,۲۰۳
۰,۱۳	۰,۷۰	۱۹۰۰-۲۰۰۰	۶,۵۸۶
۰,۱۳	۰,۷۴	۲۰۰۰-۲۱۰۰	۶,۳۷۴
۰,۱۲	۰,۷۷	۲۱۰۰-۲۲۰۰	۶,۰۱۲
۰,۱۰	۰,۸۱	۲۲۰۰-۲۳۰۰	۵,۱۱۹
۰,۱۰	۰,۸۵	۲۳۰۰-۲۴۰۰	۴,۷۲۲
۰,۰۹	۰,۸۸	۲۴۰۰-۲۵۰۰	۴,۵۷۹
۰,۰۷	۰,۹۲	۲۵۰۰-۲۶۰۰	۳,۶۵۱
۰,۰۶	۰,۹۶	۲۶۰۰-۲۷۰۰	۲,۸۷۷
۰	۱	۲۷۰۰	۰

$$M = ۴۷,۱۲۰ \text{ KM}^2, H^* = ۴۷,۱۲۰ * A =$$



شکل ۶: منحنی هیپسومتریک حوضه کذاب

#### ۷. شاخص شکل حوضه<sup>۱</sup>

شاخص شکل حوضه، تفاوت میان حوضه هایی با کشیدگی قابل توجه و حوضه هایی که شکل آن ها نزدیک به دایره است را مشخص می کند. تصویر افقی یک حوضه بر حسب شاخص شکل حوضه یا نسبت کشیدگی بیان می گردد (رامیز و هررا، ۱۹۸۸)<sup>۲</sup>. فرآیندهای زمین ساختی جدید اغلب شکل حوضه های آبریز را تا حدودی تغییر می دهد. در مناطقی که از نقطه نظر تکتونیکی فعال اند حوضه ها کشیده تر بوده و این شاخص مقدار بالای را نشان می دهد اما، در مناطق با فعالیت تکتونیکی کمتر، حوضه ها کمتر کشیده بوده و شکل آن ها به دایره نزدیک تر است. از این رو، میزان شاخص  $BS$  نیز کاهش پیدا می کند (بال و مک فادن، ۱۹۷۷، بال، ۲۰۰۷)<sup>۳</sup>. این شاخص از طریق رابطه زیر بدست می آید:

$$BS = BI / BW \quad (6)$$

BS: شاخص شکل حوضه

BI: طول حوضه آبریز (از نقطه خروجی تا انتهایی ترین بخش حوضه)

BW: عرض حوضه آبریز (طول پهن ترین بخش حوضه)

<sup>1</sup> Index of Drainage Basin Shape

<sup>2</sup> Ramírez and Herrera

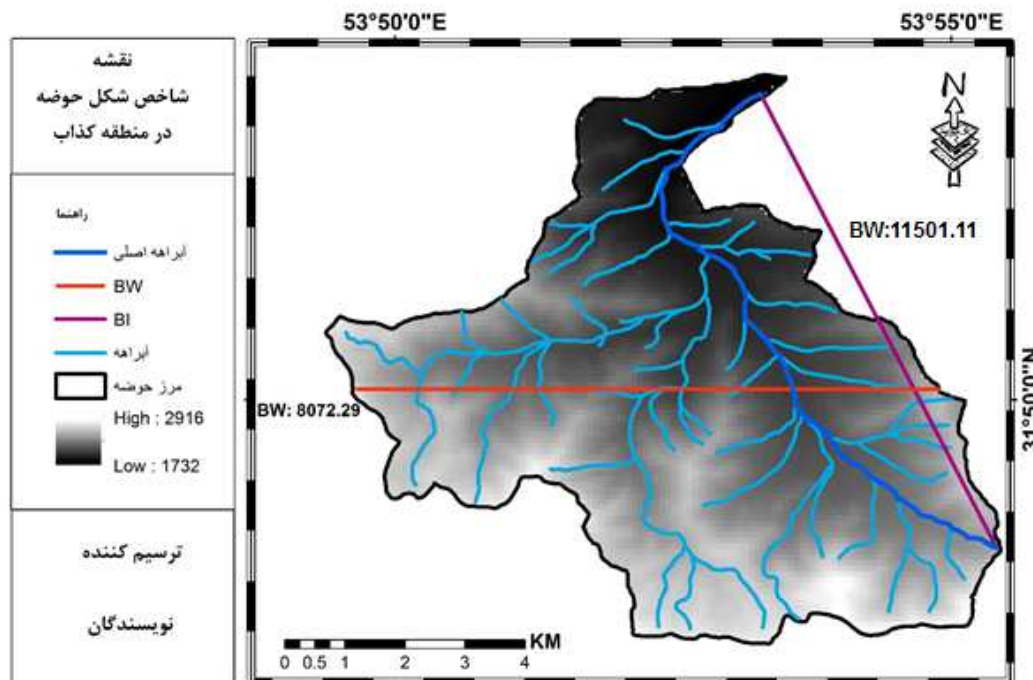
<sup>3</sup> Bull and McFadden

شاخص BS اغلب در ۳ کلاس رده بندی شده‌اند، این ۳ رده عبارت اند از: رده ۱ فعالیت تکتونیکی ( $4 \leq BS \leq 4$ ) رده ۲ فعالیت تکتونیکی ( $3 \leq BS < 4$ ) و رده ۳ فعالیت تکتونیکی ( $BS \leq 3$ ) (همدونی و همکاران، ۲۰۰۷). مقدار این شاخص برای حوضه کذاب و زیر حوضه هامانه محاسبه و نتایج آن در جدول (۷) آورده شده است.

جدول ۷: محاسبه شاخص شکل حوضه برای حوضه کذاب و زیر حوضه هامانه

BS	BW(M)	BI(M)	نام حوضه
۱,۴	۱۱۵۰۱,۱۱	۸۲۳۳	کذاب
۳,۶	۱۱۵۰۱,۱۱	۳۱۸۷	هامانه

دلیل آنکه این شاخص برای زیر حوضه هامانه نیز محاسبه گردید وجود گسلهای متعدد و تفاوت شکل ظاهری آن بود. نتایج این شاخص همانطور که از جدول (۷) قابل مشاهده است برای حوضه بالا بوده (در حدود ۱,۴) اما برای زیر حوضه هامانه بسیار بالا (حدود ۳,۶) می‌باشد و این نشان دهنده وضعیت تکتونیکی نیمه فعال برای کل حوضه و بسیار فعال برای زیر حوضه هامانه است. شکل حوضه نیز گویایی دگرگیسی و تغییر بویژه در بخش شرقی آن است (شکل ۷).



شکل ۷: شاخص شکل حوضه در منطقه کذاب

## نتیجه گیری

حوضه آبریز کذاب از نظر زمین شناسی یعنی زمین ساخت، زمین ریخت شناسی و لیتولوژی یک حوضه نسبتاً پیچیده است. وجود گسل‌های متعدد بزرگ و کوچک، وجود سازندهای متنوع به لحاظ سنگ شناسی و زمانی در مجاورت هم، وجود توده‌های نفوذی به شکل دایک در امتداد گسل‌ها، پرتگاه‌های بلند جبهه کوهستان، پیچ و خم و شکست‌های پیاپی در مسیر رودخانه‌های اصلی و مواردی از این دست نشان‌دهنده این پیچیدگی هستند. مشخص بودن برخی گسل‌ها بر روی زمین، با وجود تغییرات اقلیمی نسبتاً زیاد کواترنر در منطقه مهمترین دلیل بر جابجایی و حرکات گسل‌ها و به تبع آن تغییرات در لندرفمهای سطح زمین است. با این وجود، برای ارزیابی دقیق‌تر عملکرد گسل‌ها و فعالیت آنها در پلئیستوسن در منطقه از هفت شاخص ژئومورفولوژیکی بهره گرفته شده است. همه شاخص‌های مورد استفاده تا حدود نسبتاً زیادی تکتونیک جنباً را در منطقه نشان می‌دهند. بعلاوه، جبهه‌های کوهستان که عمده‌تا از سنگهای آهکی تشکیل شده‌اند؛ اغلب به شکل پرتگاه‌های خشن و پرشیب جلوه می‌کنند. به همین دلیل طبیعی است که شاخص smf مقدار بالایی را نشان دهد. بر اساس شاخص منحنی هیپسومتری و انگرال هیپسومتری، بیشتر بخش‌های حوضه (قریب به ۷۰ درصد آن) بالای ارتفاع ۲۰۰۰ متری قرار گرفته‌اند. بنابراین، حوضه جزء حوضه‌های جوان بوده که دلیل آن هم بالا آمدگی حوضه در دوره اخیر و در پلئیستوسن بوده است. چرا که در برخی موارد مشاهده می‌شود که رسوبهای دوران کواترنر را نیز بریده و یا بالا آورده است.

بر مبنای شاخص شکل حوضه، منطقه کذاب حوضه نسبتاً کشیده‌ای است، بویژه در زیرحوضه هامانه که خود دره تکتونیکی بوده و در داخل گسل بزرگ هامانه قرار گرفته است. در واقع، زیرحوضه هامانه از نظر شاخص شکل حوضه مقدار بسیار بالایی را نشان داده و گویای فعالیت‌های اخیر زمین ساخت در این بخش از حوضه است. بعلاوه، حوضه از نظر ریخت‌شناسی نامتقارن به نظر رسیده و شاخص عدم تقارن حوضه نیز مقدار بالایی را نشان داده و می‌تواند فعالیت تکتونیکی حوضه را به شکل آشکاری نشان دهد. با مشاهده شکل حوضه می‌توان دریافت که حوضه به سمت شرق کج شده به گونه‌ای که مساحت بخش غربی آن در حدود چهار برابر بخش شرقی حوضه است. به طور کلی، مقادیر به دست آمده از شاخص‌های ژئومورفولوژی عملکرد نئوتکتونیک در حوضه آبریز کذاب و رده‌های فعالیت آنها در جدول (۸) آورده شده است:

جدول ۸: مقادیر شاخص‌های ژئومورفولوژیکی عملکردهای نئوتکتونیک و رده‌های آنها در حوضه آبریز کذاب

SL	SL	Hi	رد ۵	Hi	رد ۵	رد ۵	- ۵۰	AF	S	طول رودخانه (M)	مساحت حوضه (KM <sup>2</sup> )
رد ۵				BS	AF		AF				
۳	۱۹۶,۰۹	۲	/۵۰	۳	۱	۳۰,۶۸	۱۹,۳۲	۱,۳۰۱	۱۱۵۰,۱,۱۱	۴۷,۱	

به طور کلی، بر حسب نتایج حاصله از شاخص‌های ژئومورفولوژی به کار گرفته شده و همچنین مطابقت آنها با نقشه زمین شناسی و گسل‌های موجود منطقه (از نظر تعدد، امتداد و موقعیت یا محل قرار گیری آنها) و همچنین شکل حوضه و بررسی‌های میدانی می‌توان بیان داشت که این شاخص‌ها در بررسی وضعیت تکتونیکی مناطق مختلف و

ارزیابی و مورفومتری حوضه‌های آبریز از کارابی و دقت بالایی برخوردارند. چرا که مقادیر به دست آمده از شاخصها با گسلها، تعدد، محل قرار گیری و امتداد آنها مطابقت دارد. از نظر این شاخص‌ها حوضه آبریز کذاب از نظر ژئومورفولوژی در وضعیت نسبتاً ناپایدار و از نظر تکتونیکی در شرایط فعالی قرار دارد(جدول ۹).

**جدول ۹:** ارزیابی کمی و کیفی فعالیت‌های نئوتکتونیک بر حسب شاخص‌های ژئومورفولوژی

شاخص‌های نئوتکتونیک	نماد	توصیف کمی	توصیف کیفی	ارزیابی توصیف فعالیت تکتونیکی (+) وجود فعالیت تکتونیکی
شاخص گرادیان طولی رودخانه	SL	۱۹۶,۰۹	نیمه فعال	+
شاخص سینوسی جبهه کوهستان	SmF	۱,۳۴۶	فعالیت تکتونیکی بالا	+
عدم تقارن حوضه زهکشی	AF	۱۹,۳۲	کج شدگی تکتونیکی	+
عدم تقارن توپوگرافی معکوس	T	۰,۵۲	فعال	+
سینوزیته رودخانه اصلی	S	۱,۳۰۱	فعال	+
انتگرال هیبسومتریک	Hi	۰,۵۰	توپوگرافی جوان	+
شاخص شکل حوضه	Bs	۱,۴	فعال	+

## منابع

حاج علی بیگی، حسین(۱۳۸۰)، مورفوتکتونیک حوضه تهران، پایان نامه دوره‌ی کارشناسی ارشد، دانشگاه شهید بهشتی.  
ذوالفاراری، مهدی، پیروان، حمیدرضا، غیومیان، جعفر، بودری، سهیلا(۱۳۸۳) بررسی نقش تکتونیک فعال بر الگوی شبکه‌ی آبراهه‌ی نیمه-  
جنوبی حوضه‌ی آبریز حاج علی قلی(جنوب شرقی دامغان)، بیست و سومین گردهمایی علوم زمین، سازمان زمین‌شناسی و اکتشافات  
معدنی ایران.

رضایی مقدم، محمد حسین، خیری زاده آروق، منصور(۱۳۹۳)، ارزیابی فعالیت‌های نئوتکتونیکی با استفاده از شاخص‌های کمی ژئومورفیک  
منطقه مورد مطالعه:بخشی از البرز شرقی در شمال استان سمنان، مطالعات جغرافیایی مناطق خشک، سال پنجم، شماره ۱۸، صص ۳۶-۱۹

سیف، عبدالله، خسروی، قاسم(۱۳۸۹)، بررسی تکتونیک فعال در قلمرو تراست زاگرس منطقه فارسان، فصلنامه پژوهش‌های جغرافیایی،  
شماره ۷۴، صص ۱۴۶-۱۲۸

طارمی‌سری، محمد مؤمنی، ده بزرگی، مریم، یساقی، علی، نو زعیم، رضا (۱۳۹۴)، ارزیابی تکتونیک فعال ازبک کوه در شمال طبس، ایران  
مرکزی، پژوهش‌های ژئومورفولوژی کمی، سال چهارم، شماره ۳، صص ۶۹-۵۰

عادی‌بنی، موسی شرنگ، شنو(۱۳۹۳) ارزیابی فعالیت‌های نو زمین ساخت در حوضه‌ی آبخیز مشکین چای از طریق شاخص‌های  
ژئومورفولوژی فصلنامه جغرافیا و توسعه، شماره ۳۵، صص ۶۶-۴۹

غلامی، یوسف(۱۳۸۹) بررسی ژئومورفولوژی تکتونیک در تاقدیس گلیان، پایان نامه کارشناسی ارشد جغرافیای طبیعی، به راهنمایی دکتر  
شهرام بهرامی، دانشکده علوم انسانی، دانشگاه تربیت معلم سیزوار

کرمی، فریبا(۱۳۸۸) ارزیابی ژئومورفیک فعالیت‌های تکتونیکی در حوضه زهکشی سعید آباد چای، پژوهش‌های جغرافیای طبیعی، شماره  
۶۹، صص ۸۲-۶۷

کرمی، فریبا (۱۳۹۱) ارزیابی نسبی تکتونیک فعال با استفاده از روش‌های مورفومتری در حوضه‌های شمالی و شرقی کوه سهند، دانشگاه آزاد  
اسلامی واحد اهر، فصلنامه‌ی علمی-پژوهشی فضای جغرافیایی، سال دوازدهم، شماره‌ی ۳۷، صص ۱۸-۱

- کرمی، فریبا، رجبی، معصومه، عسگری، مریم(۱۳۹۲)، تحلیل فعالیت های نثوتکتونیکی دامنه شمالی رشته کوه بزقوش با استفاده از روش های ژئومورفولوژیکی، فصلنامه تحقیقات جغرافیایی، شماره ۲، صص ۱۴۱-۱۵۸
- گورابی، ابوالقاسم، نوحه گر، احمد(۱۳۸۶)، بررسی شواهد ژئومورفولوژیکی تکتونیک فعال حوضه آبخیز در که، پژوهش های جغرافیایی، شماره ۶، صص ۱۷۷-۱۹۶
- مصطفوی، مهران، جعفری، مریم، باقری، سجاد و مسعود مینایی(۱۳۹۰)، بررسی تکتونیک فعال حوضه آبخیز کفرآور با استفاده از شاخص های ژئومورفیک و شواهد ژئومورفولوژیک، جغرافیا و توسعه شماره ۲۵، صص ۱۱۱-۱۳۶
- مصطفوی، مهران، جعفری اقدم، مریم، باقری سید لشکری، سجاد، مینایی، مسعود(۱۳۹۰)، بررسی تکتونیک فعال حوضه ی آبریز کفرآور با استفاده از شاخص های ژئومورفیک و شواهد ژئومورفولوژیکی، جغرافیا و توسعه، شماره ۲۵، صص ۱۱۱-۱۳۶
- Arvey, A.M., (2002), "The Role of base-level Change in the Dissection of Alluvial fans: Case Studies from Southeast Spain and Nevada", *Geomorphology*, 45: 67-87.
- Bull, W.B., McFadden, L.D., 1977, Tectonic geomorphology north and south of the Garlock fault, California, In: Doehring, D.O. (Ed.), *Geomorphology in Arid Regions*, Proceedings of the Eighth Annual Geomorphology Symposium, State University of New York, Binghamton, pp. 115–138
- Bull, W.B. 2007. Tectonic geomorphology of mountains: a new approach to paleoseismology. Blackwell Publishing.
- Duglas, W. B., Robert. S.A. (2001) *Tectonic Geomorphology*, Blackwell Science,Ltd , p. 288
- Dehbozorgi, M., Pourkermani, M., Arian, M., Matkan, A.A., Motamed, H., Hosseiniyas, H., (2010),"Quantitative analysis of relative tectonic activity in the Sarvestan area, central Zagros, Iran", *Geomorphology*, 121:329–341.
- Li, Y., Jingchun, T., Lihua, D. (1999). Impact of tectonics on alluvial landforms in Hexi corridor, Northwest China. *Geomorphology* Vol 28.
- Guarnieri, P., Pirrotta, C. (2008) "The Response of Drainage Basins to the Late Quaternary Tectonics in the Sicilian Side of the Messina Strait (NE Sicily)", *Geomorphology*, 95: 260-273.
- Giaconia, F., Booth-Rea, G., Martínez-Martínez, J.M., Azañón, J.M., Pérez-Peña, J.V., Pérez-Romero, J., Villegas, I. (2012) Geomorphic evidence of active tectonics in the Serra Alhamilla (eastern Betics, SE Spain). *Geomorphology* 145-146, pp: 90-106.
- Harkins, N. W., Anastasio, D. J. Pazzaglia, F. J., (2005)," Tectonic geomorphology of the Red Rock fault, insights into segmentation and landscape evolution of a developing range front normal fault", *Journal of structural Geology*, 27: 1925-1939.
- Hamdouni, R.El. Iriggaray, C. Fernandez, T. Chacon, J. Keller, E.A (2007) Assessment of relative active tectonics, southwest border of the Sierra Nevada Southern Spain) .*Geomorphology*. 96, 150–173
- Keller, E.A., Pinter, N. (2002) *Active Tectonics: Earthquakes, Uplift, and Landscape* (2ndEd.), Prentice Hall, New Jersey.
- Strahler, A.N., 1952, Hypsometric (area-altitude) analysis of erosional topography, *Geological Society of America Bulletin* 63, 1117–1142.
- Morisawa, M., Hack, J.T.(1985) *Tectonic Geomorphology*, Boston: Allen & Unwin, p: 390.
- Malik. J.N., Mohanty,C.,(2007)," Active tectonics influence on the evolution of drainage and landscape geomorphic signatures from frontal and hinter land areas along the North western Himalaya, India", *Journal of Asian Earth Sciences*, 29: 604-618.
- Elio Flores-Prieto, Geraldine Quénéhervé, Felix Bachofer, Faisal Shahzad, Michael Maerker, (2015)Morphotectonic interpretation of the Makuyuni catchment in Northern Tanzania using DEM and SAR data *Geomorphology*, Volume 248, Pages 427-439
- Ramírez-Herrera, M.T., 1998, Geomorphic assessment of active tectonics in the Acambay Graben, Mexican volcanic belt, *Earth Surface Processes and Landforms* 23,317–332.
- Savaş T., Edward, K., Aaron, B., Koçyiğit, A.( 2016)Tectonic geomorphology of a large normal fault: Akşehir fault, SW Turkey Original Research Article *Geomorphology*,Volume 259, 15,Pages 55-69
- Viseras, C., Altan, B.N., (2003), "Differential Features af alluvial fans Controlled by Tectonic or Eustatic Accommodation Spce", *Geomorphology*, 50: 181-202.
- Wallace, R. E., (1977): Profiles and Ages of Young Fault Scarps, North Central Nevada. *Geological Society of America Bulletin*, 88, 1267–1281.

## Assessment of Neotectonic activities using geomorphological indicators (case study: Kazab basin-yazd)

**Mohamad sharifi Paichoon<sup>\*1</sup>, Fateme Zare<sup>2</sup>, Kazem Taherinejad<sup>3</sup>**

1- Assistant Prof. of Geography, Yazd University

Email: mscharifi@gmail.com

2- MA of Geomorphology, Yazd University

3- MA of Geomorphology, Yazd University

Received: 2016.07.03

Accepted: 2017.06.21

---

### Abstract

The earth surface and its landforms usually changes by tectonic activities. for defining tectonically activities and changes in the landforms of the earth surface, geomorphological indicators are one of the suitable tools. In the region, there are a few small and great faults and the main goal of the research is studying the movement and activities of the faults in the region in quaternary. To assessment the impacts of neotectonic movements in the region, we showed topographic and morphologic anomalies according to topographic and geologic maps, aerial photographs, digital elevation model, and also filed studies. To evaluate the rate of neo-tectonic activities in the basin, we have used geomorphological indicators includes; Bs, SL, T, AF, SMF, Hc, Hi, S and also geography information system. More indicators show tectonic activities and the movement of the faults. The rate of Bs is high. Besides, the rate of the profile of the river is different, because the main river has located inside a fault valley. SMF index is about 1.2 that indicates tectonic activity. The rate of AF reaches to 19 so that the area of the west is about four times the east segment. The index of hypsometric integral show uplifting especially in the west segment. The indexes of BS SMR are about 1 and 1.3 that both of them point out high rate.

**Keywords:** Kazab Basin, Geomorphic indicators, Morphometry, Neo-tectonic.